Observatórios e estações geomagnéticas de Portugal: entre tradição e modernidade

Ribeiro, Paulo^{1,2}; Cruz, Jorge³; Pinheiro, Fernando G.²; Pais, M. Alexandra^{2,4}; Neres, Marta³

OGAUC, Observatório Geofísísco e Astronómico da Universidade de Coimbra
 CITEUC, Centro de Investigação da Terra e do Espaço da Universidade de Coimbra
 IPMA, Instituto Português do Mar e Atmosfera



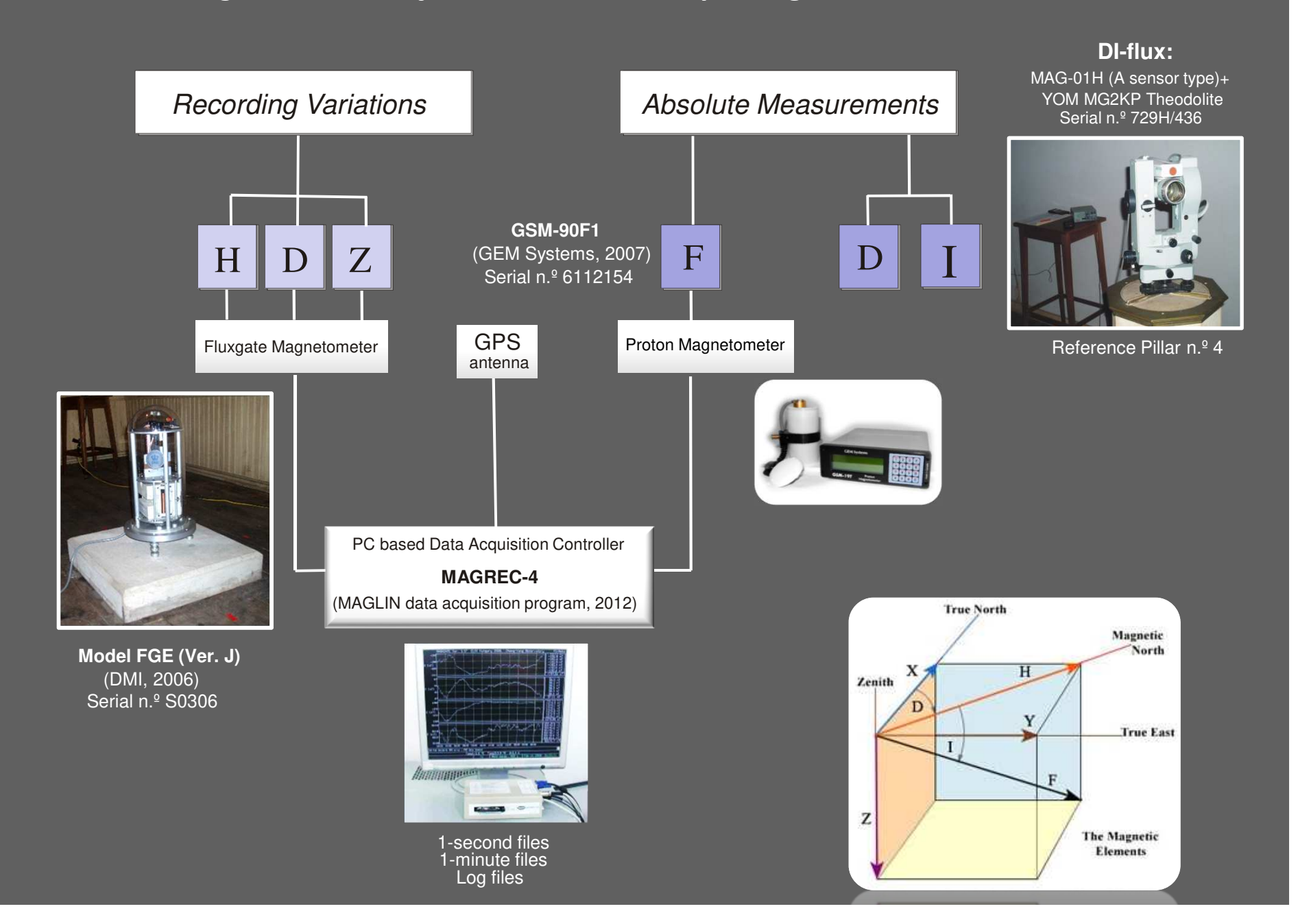






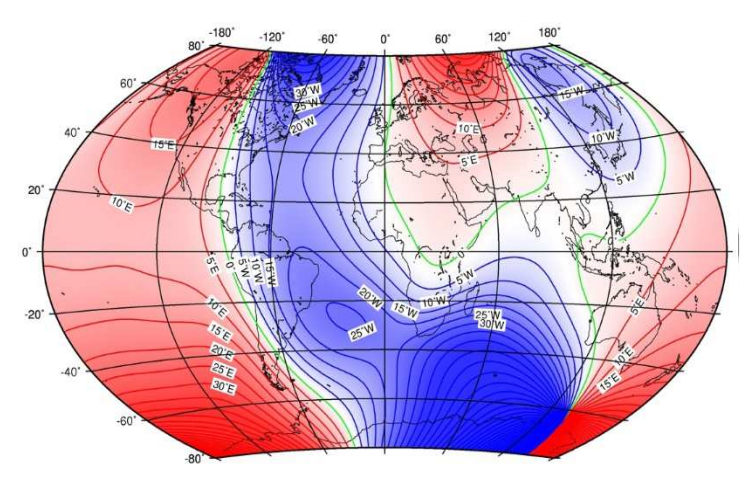


Observatório GeoMagnético: estação onde se mede e regista de forma contínua e absoluta a magnitude e direcção do vector do **campo magnético terrestre**.



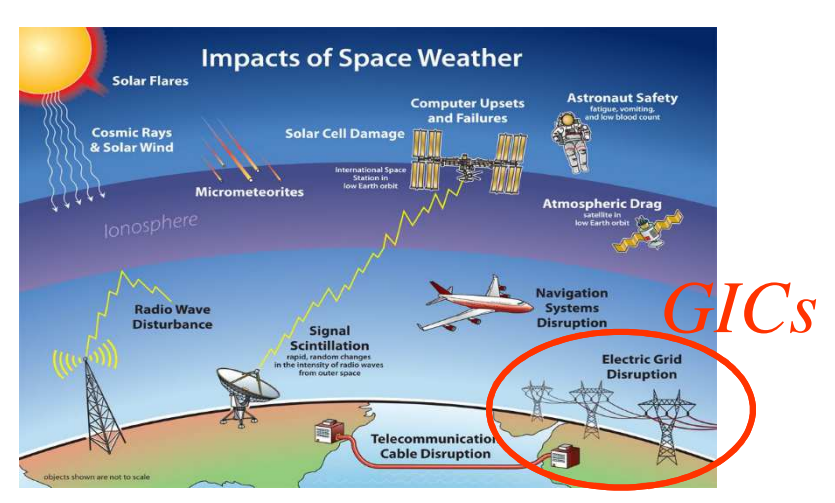
Aplicações das Séries de Dados dos Observatórios Geomagnéticos

Cartografia Magnética Global



Declination from IGRF-12 for 2015. http://www.geomag.bgs.ac.uk/research/modelling/IGRF.html

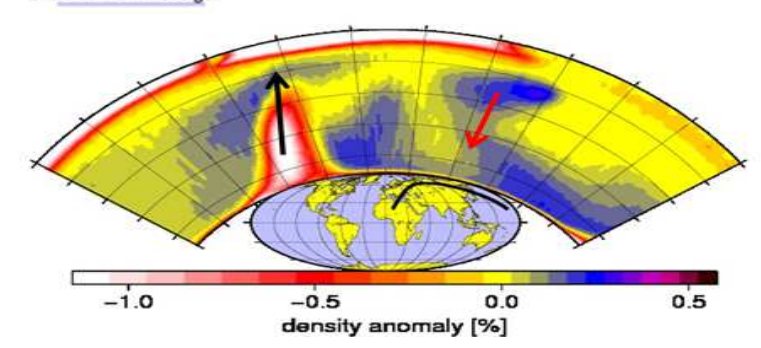
Meteorologia Espacial



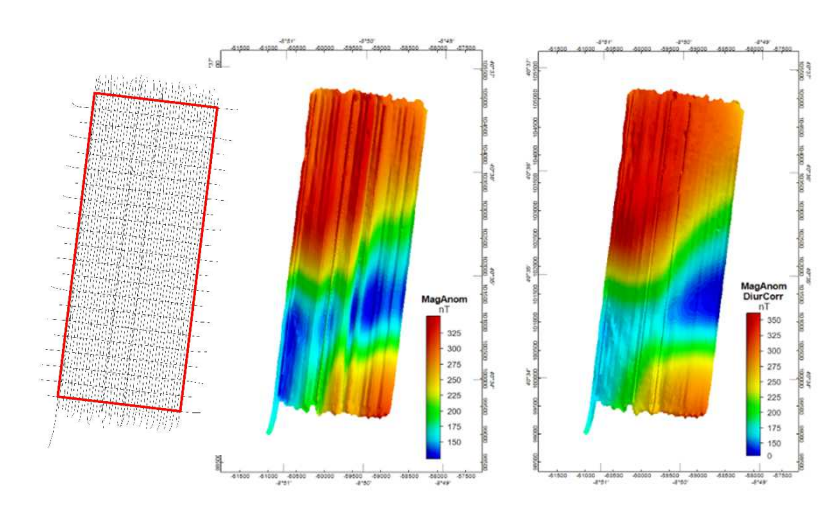
Estudos do Geodínamo e Dinâmica Interna

Possible links between long-term geomagnetic variations and whole-mantle convection processes

A. J. Biggin^{1*}, B. Steinberger^{2,3}, J. Aubert⁴, N. Suttie¹, R. Holme¹, T. H. Torsvik^{3,5,6}, D. G. van der Meer^{2,8} and D. J. J. van Hinsbergen³



Correção de dados de campanhas



Fundação dos Observatórios de Lisboa e Coimbra

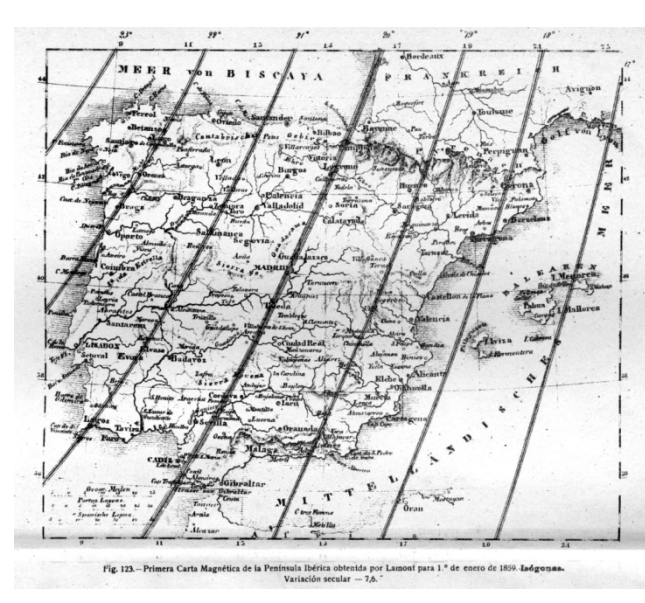
Magnetismo Terrestre no Séc. XIX **Humboldt** (1769-1859) – **Gauss** (1777-1855)– **Sabine** (1788-1883)

> União Magnética de Göttingen (1836) "Cruzada Magnética" (1840s...)







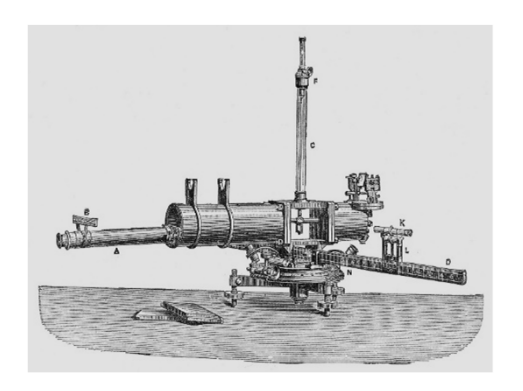


Carta de Isogónicas da Ibéria (1858) Lamont (1805-1879)



Obs. Meteo. Magnético da UC (1864)

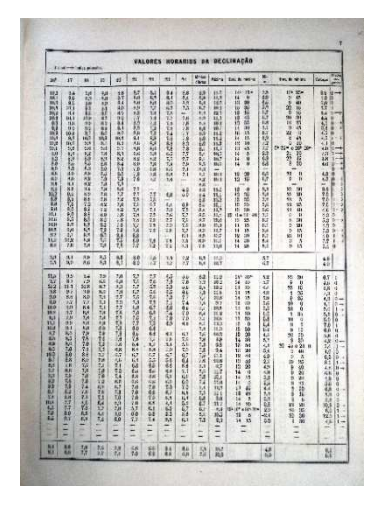
Primeiras observações & Longas séries de dados geomagnéticos

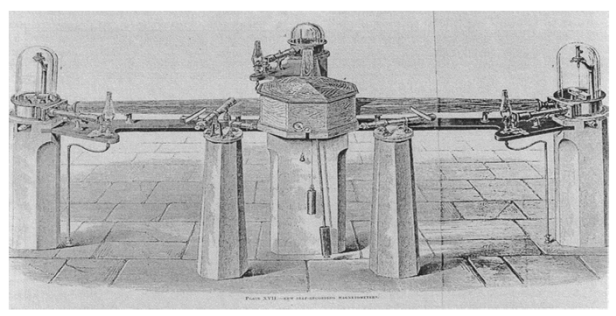




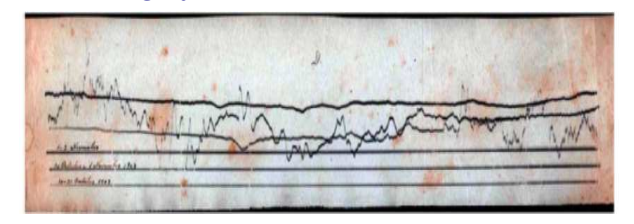


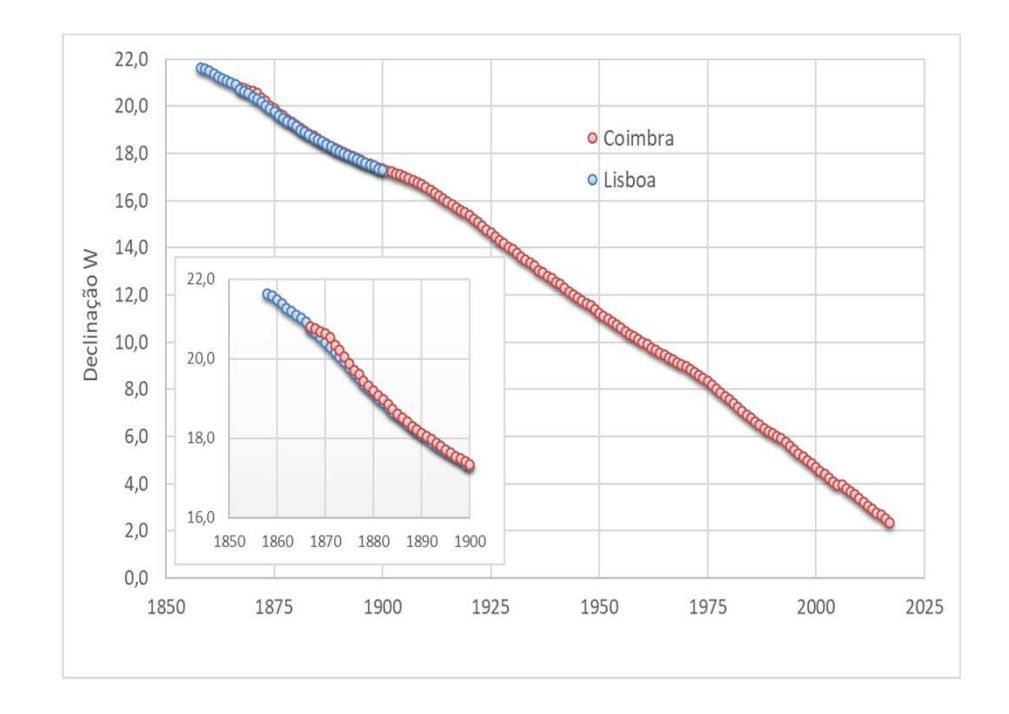
Inclinómetro de Dover

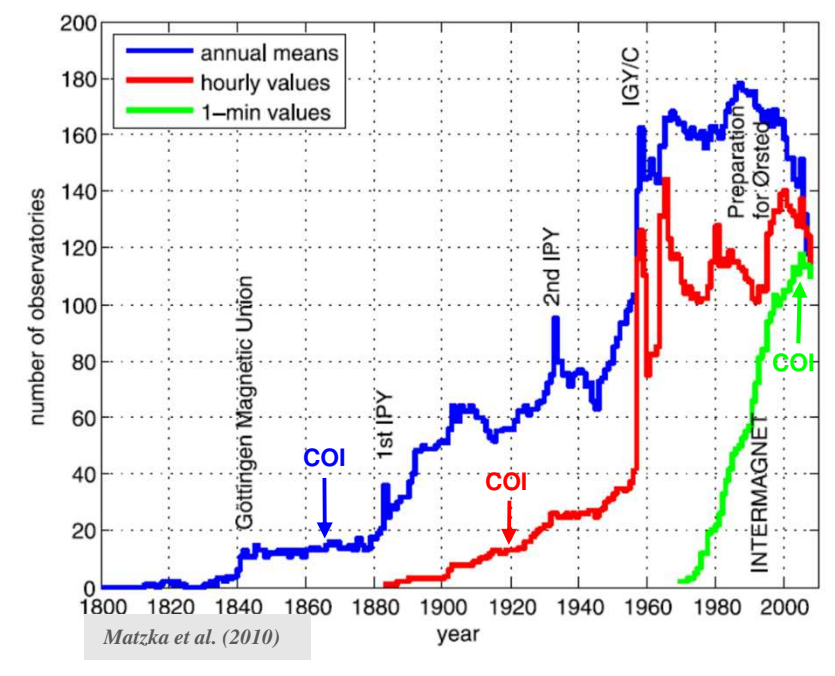




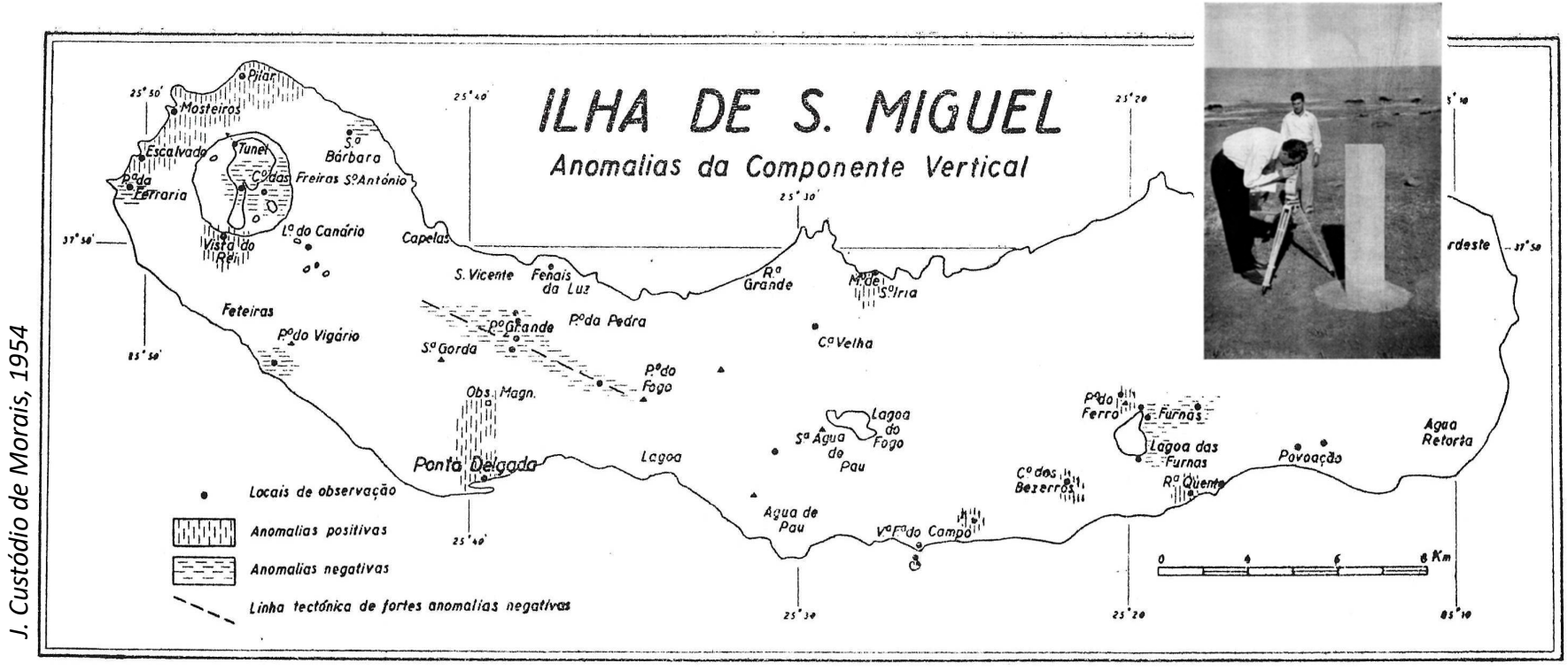
Variógrafos de Adie (modelo de Kew)







Observações Geomagnéticas nos Açores - Observatório de S.Miguel (1911-1978)





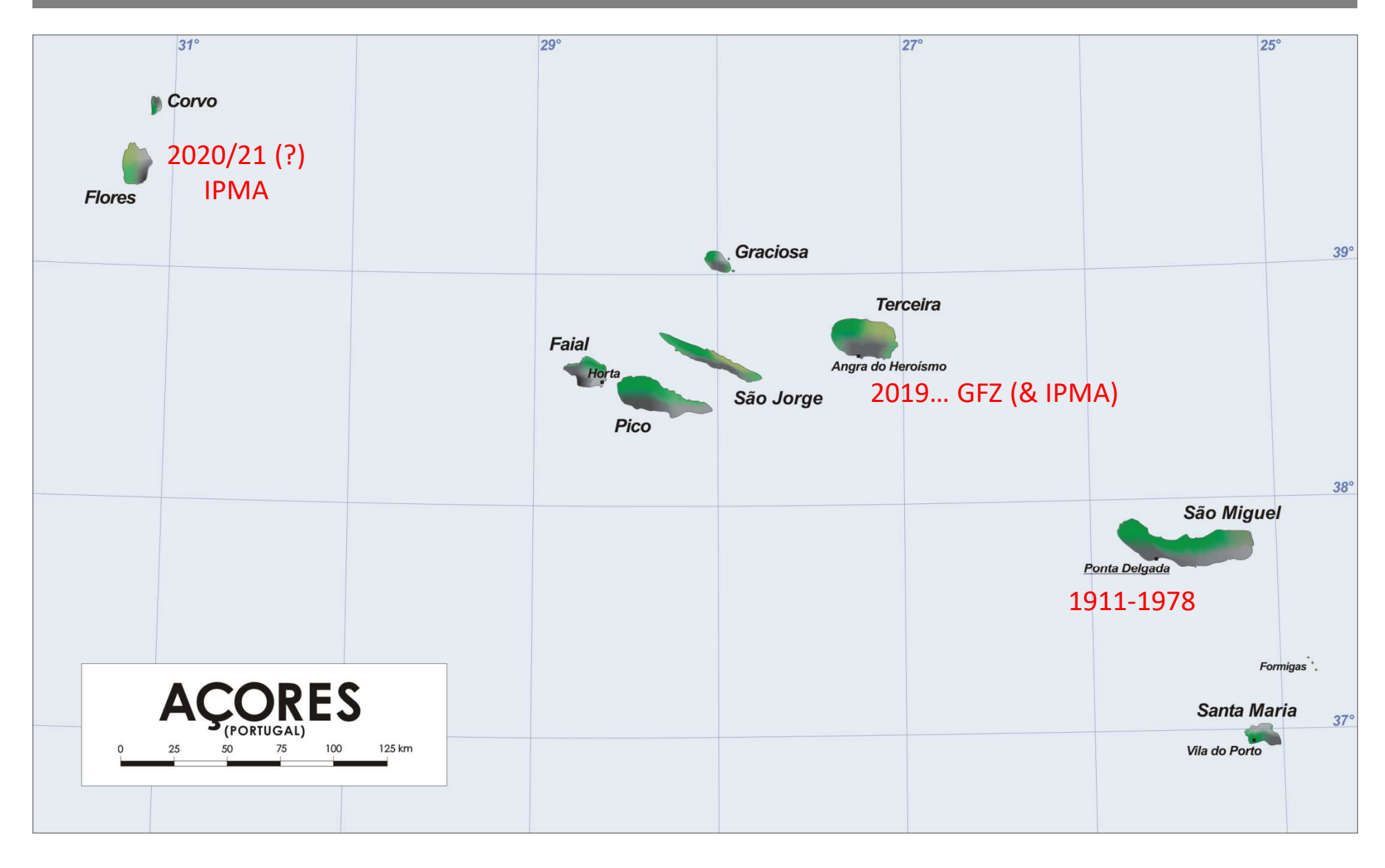
Afonso Chaves (1857-1926)

Fajã de Cima, Observatório Magnético de S. Miguel (1911-1978)

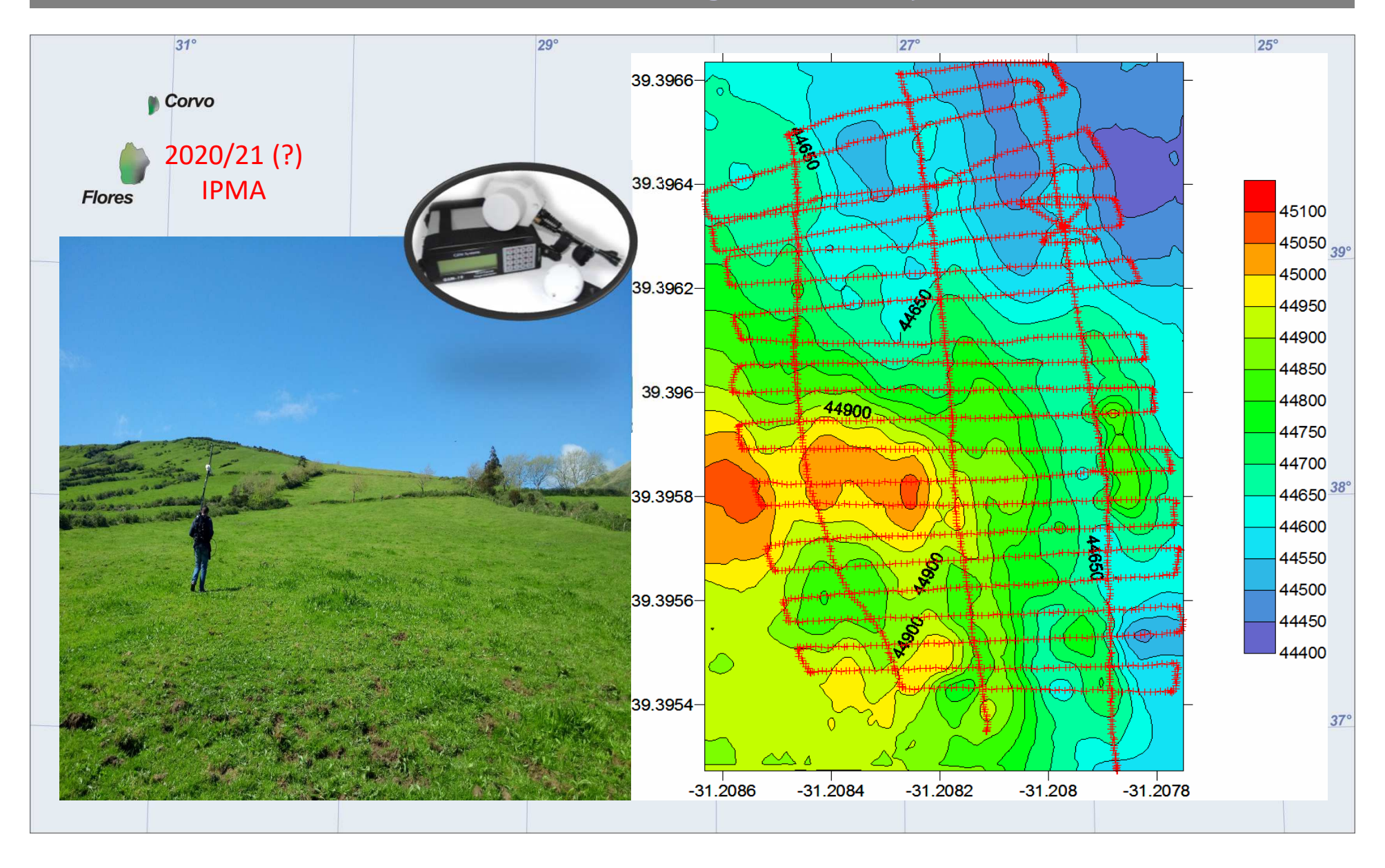


Indutor terrestre com galvanómetro e Teodolito Magnético

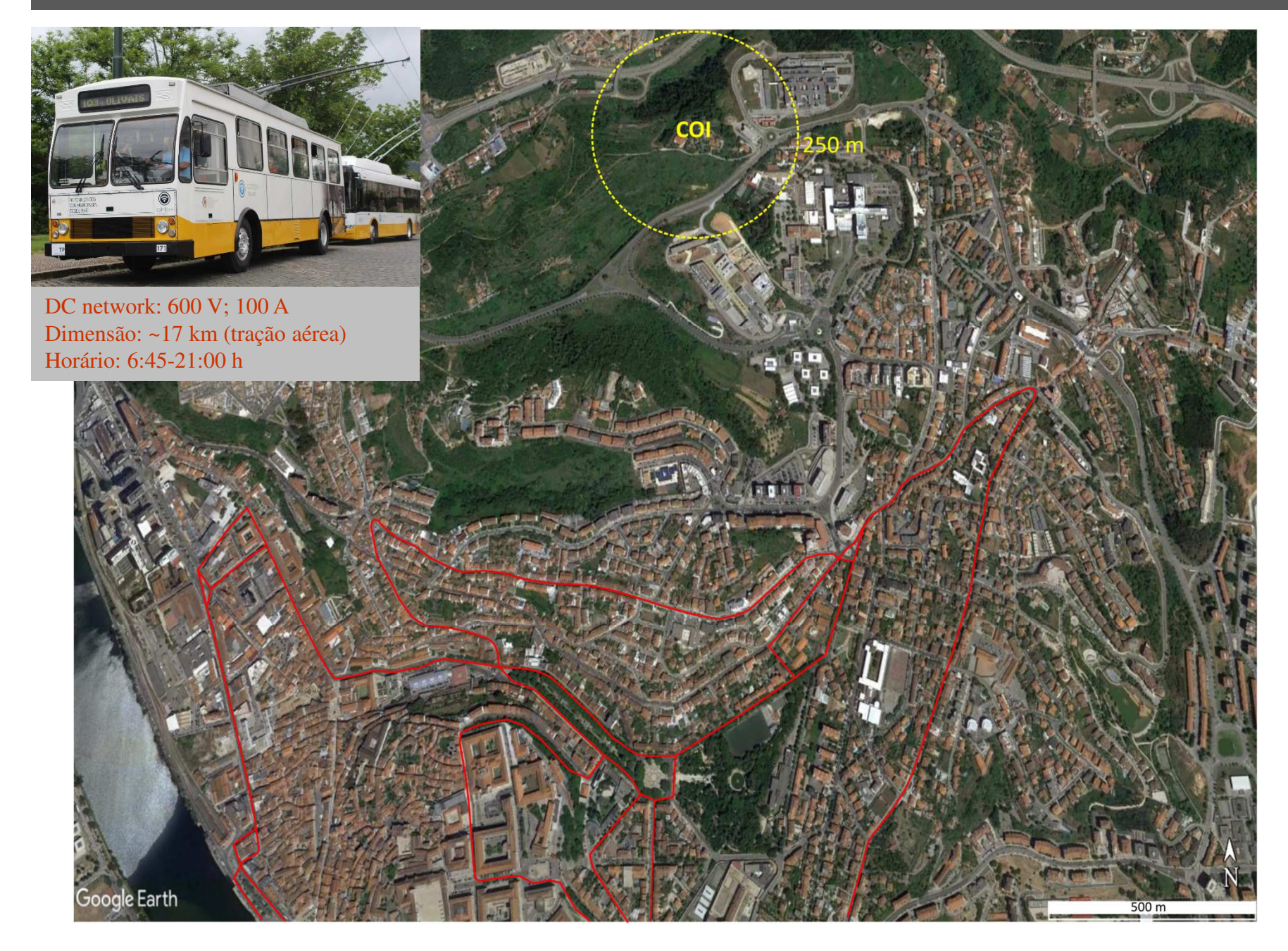
Observatórios Geomagnéticos nos Açores



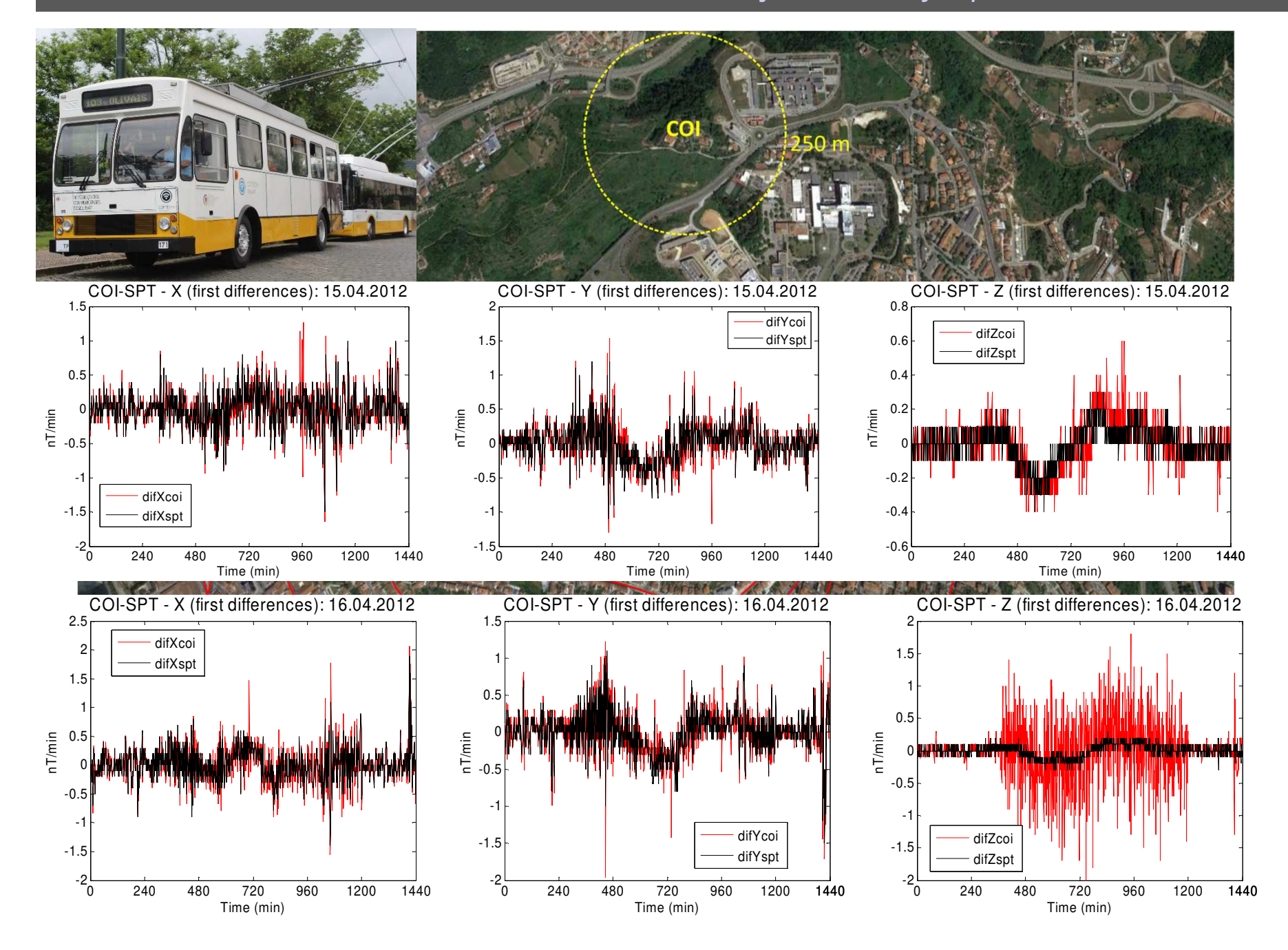
Observatórios Geomagnéticos nos Açores



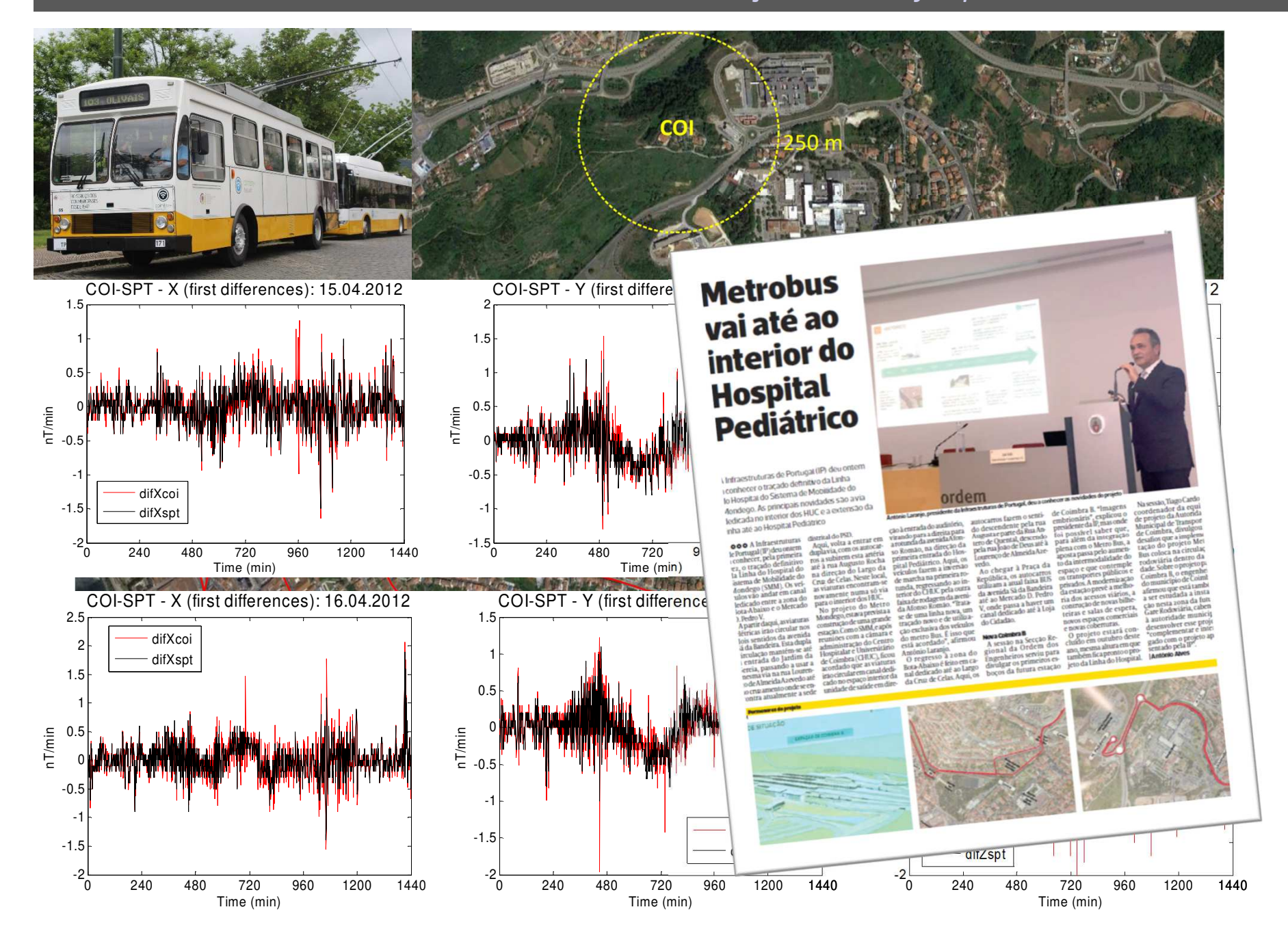
Observatório de Coimbra – Perturbações de alta frequência



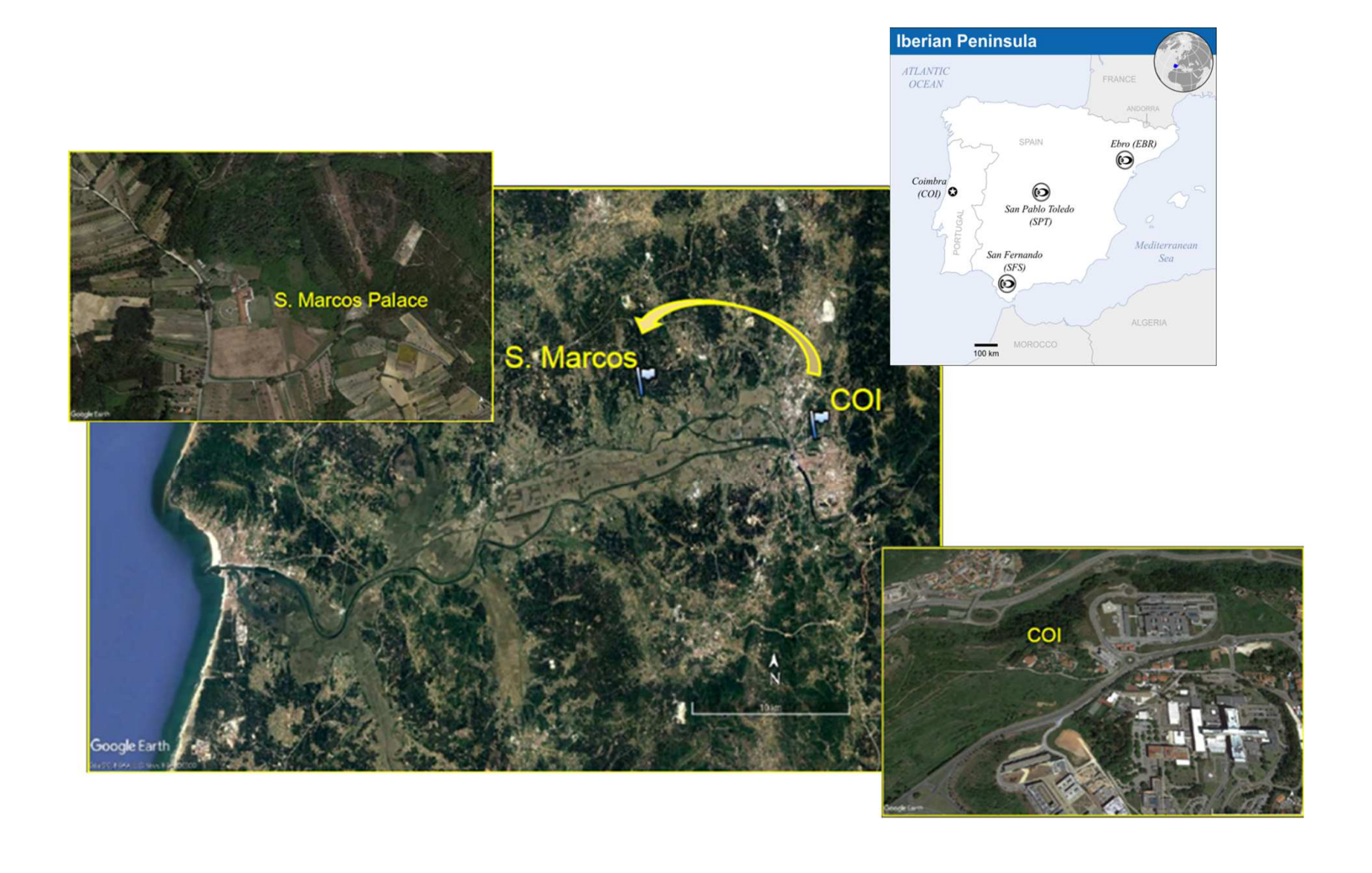
Observatório de Coimbra – Perturbações de alta frequência



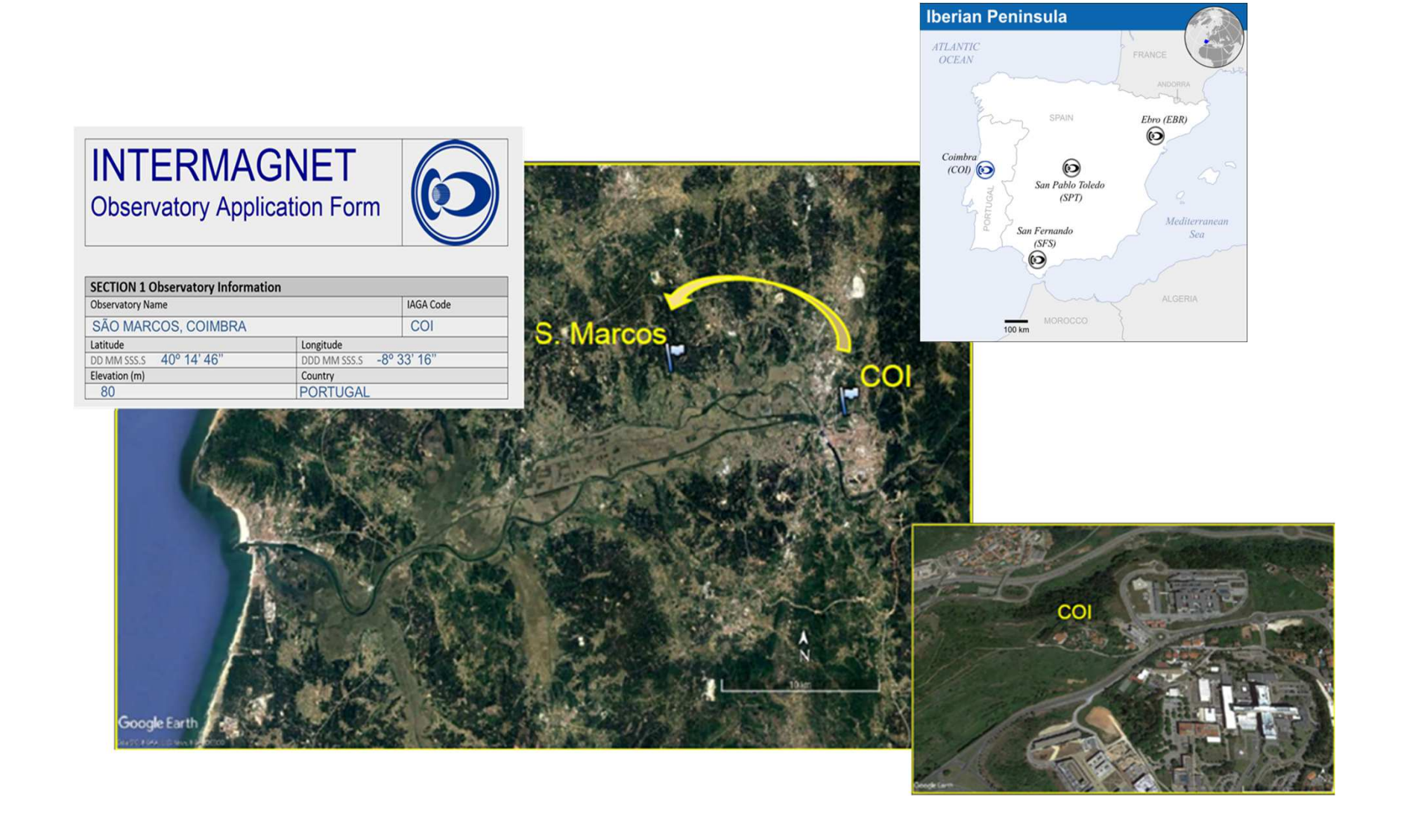
Observatório de Coimbra – Perturbações de alta frequência



Plano de Transferência do Observatório de Coimbra



Plano de Transferência do Observatório de Coimbra



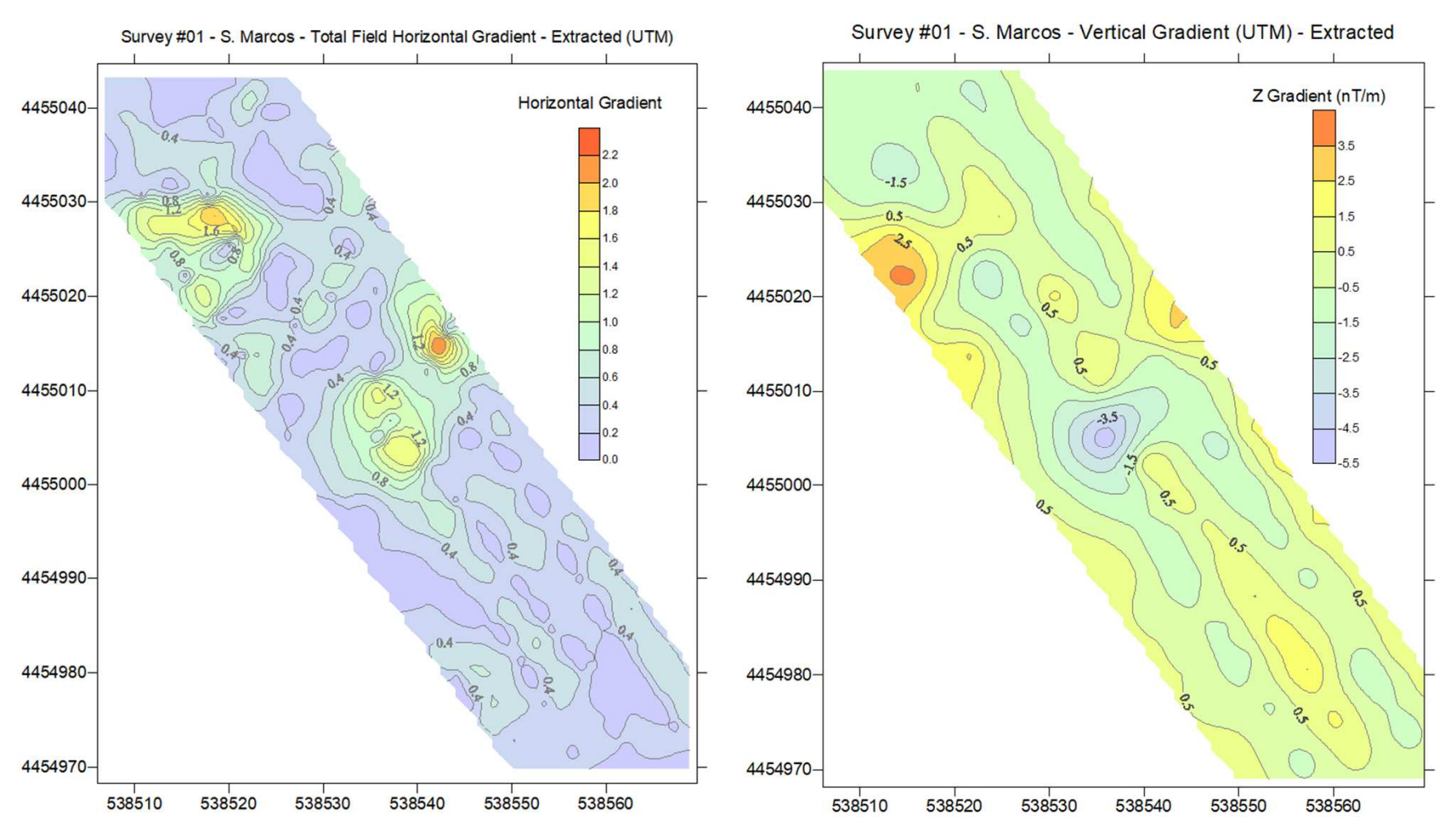
Plano de Transferência do Observatório de Coimbra



- (1) Realização de levantamentos magnéticos em diferentes escalas (para mapeamento de gradientes e detecção de anomalias);
- (2) Perfis de resistividade elétrica para avaliação da condutividade em profundidade;
- (3) Registo contínuo (modo estação) do campo total em diferentes pontos das áreas préselecionadas.

Survey #01 - S. Marcos - Total Field Anomaly (UTM) - Extracted 4455040-4455030-S. Marcos: Campanhas 2019 4455020 4455010-4455000-4454990-4454980-4454970-538510 538520 538530 538540 Survey conducted on 13rd March (2019) with a GSM-19WG magnetometer (walking gradiometer mode, with sensors at 1.80 and 2,30 m height)

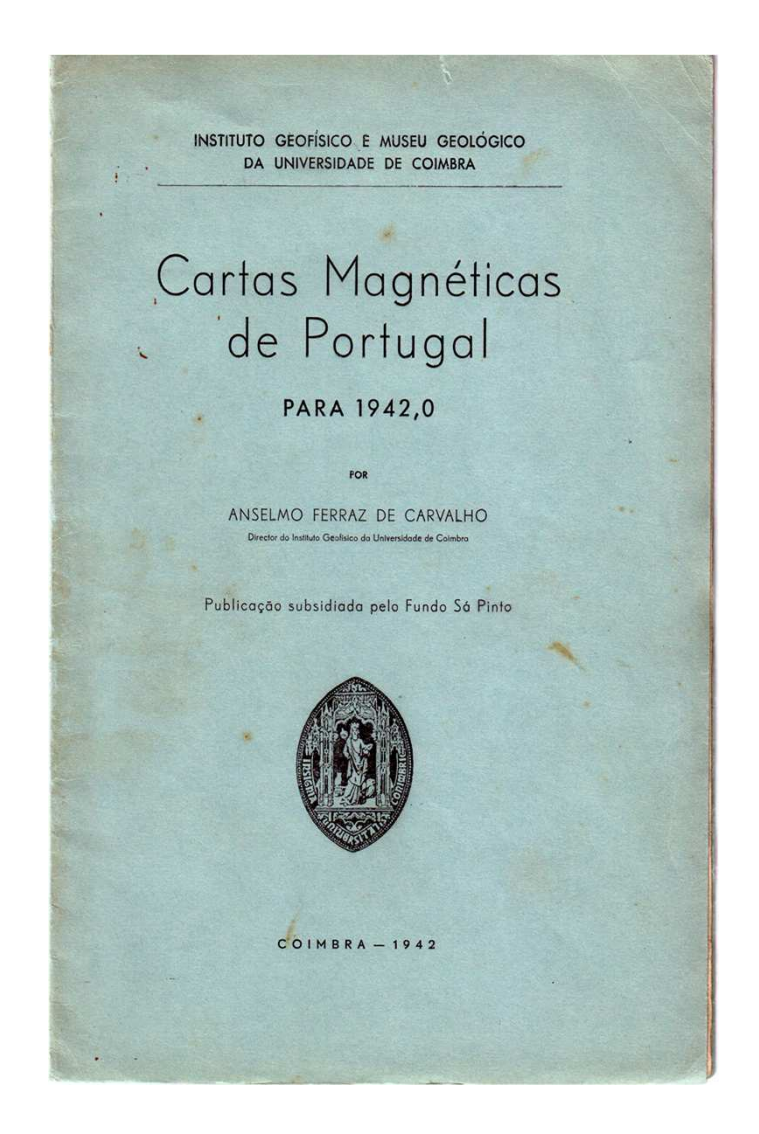
S. Marcos: Campanhas 2019



Survey conducted on 13rd March (2019) with a GSM-19WG magnetometer (walking gradiometer mode, with sensors at 1.80 and 2,30 m height)

Survey conducted on 13rd March (2019) with a GSM-19WG magnetometer (walking gradiometer mode, with sensors at 1.80 and 2,30 m height)

Estações de variação secular e Primeiras Cartas Magnéticas de Portugal (1942)



Teodolito Mag. Chasselon

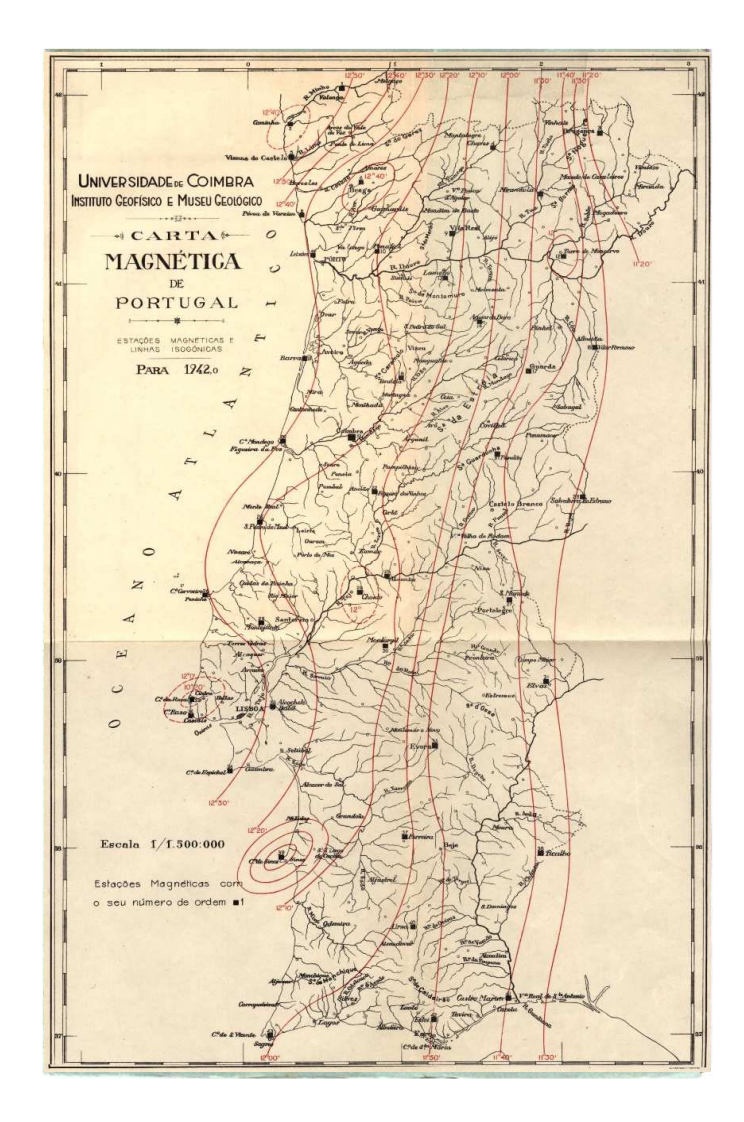




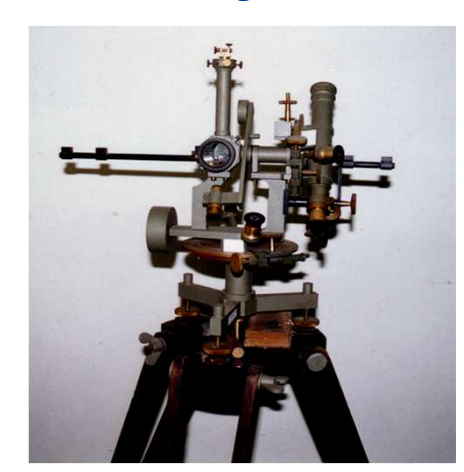
Indutor Terrestre Sartorius

Estações		Variação média anual: para a Declinação = -6' 28" (6',48) para a Inclinação = -3' 00" (3',00)								
Caminha					Para 1924,0		Para 1942,0			
1 o Valença	1	Estações						Inclin.		
2 Caminha 41 52,2 8 53,1 15 18,2 6 0, 0,3 12 45,8 59,1 1 Chaves 41 43,3 7 99,1 14 49,4 59 20,7 12 68,0 58 2 Chaves 41 43,3 7 99,1 14 49,4 59 20,7 12 68,0 58 2 Mirandola 41 41,8 8 52,9 15 26,3 59 33,9 12 17,0 8 3 Mirandola 41 28,8 7 12,8 14 21,8 59 24,3 11 49,5 8 3 Mirandola 41 29,1 8 47,3 15 62,3 59 24,7 12 30,6 88 2 Mirandola 41 13,0 7 46,8 14 47,8 59 10,9 12 15,5 88 1 Posoa de Varzim 41 25,1 8 47,3 15 62,3 59 24,7 12 30,6 88 2 Vila Real. 41 13,0 7 46,8 14 47,8 59 10,9 12 15,5 88 1 Pendid 41 12,0 7 46,8 14 47,8 59 10,9 12 15,5 88 1 Pendid 41 12,0 7 46,8 14 47,8 59 10,9 12 15,5 88 1 Pendid 41 16,8 8 15,8 1 1,8 1 59 10,9 12 15,5 88 1 11 0 Leixfes 41 16,6 8 44,1 15 61,9 59 10,6 12 20,6 58 1 11 0 Leixfes 41 16,8 8 7 36,2 1 1 29,9 59 10,6 12 20,6 58 1 11 0 Again da Beira 40 38,6 8 33,9 15 67,3 58 57,4 12 67,7 58 1 13 1 0 Again da Beira 40 38,6 8 33,9 15 67,3 58 57,4 12 67,7 58 1 14 0 Again da Beira 40 38,6 8 33,9 15 67,3 58 57,4 12 67,7 8 15 0 Barra de Aveiro 40 38,6 8 33,9 15 67,3 58 57,4 12 67,7 8 16 0 Gaarda 40 32,2 7 16,2 14 20,9 59 07,1 11 34,6 58 1 17 0 Gaarda 40 32,2 7 16,2 14 20,9 59 07,1 11 34,6 58 1 17 0 Gaarda 40 30,6 8 66,1 14 51,6 54 57,4 12 67,7 8 18 0 Tendela 40 30,6 8 66,1 14 51,5 8 20,9 12 12,5 7 18 0 Columbra 40 12,5 8 25,4 1 50,5 5 7,7 1 18 0 Columbra 40 12,2 8 51,4 1 50 0,3 58 12,4 12 30,0 57 19 Columbra 40 12,5 8 25,4 1 50,5 5 7,7 1 22 Figneiro dos Vinhos 39 51,5 8 25,4 1 10 0,4 15,7 5,2 1 1 14,8 1 5 58 Selvatorra do Extremo 39 52,9 6 51,8 1 1 4,7 6 5 7,7 5,2 1 1 14,9 5 58 Selvatorra do Extremo 39 52,9 6 51,8 1 1 14,8 1 5 59 Cabo Garosciro 39 13,7 7 10,1 1 14,6 5 5 7,0 19 12 27,7 5 5 5 1 18 Cabo Garosciro 39 13,7 7 7 10,1 1 1,0 1,6 5 5 7,0 1 1 12,2 5 5 1 18 Cabo Garosciro 39 13,7 7 7 10,1 1 1,0 1,6 5 5 7,7 1 1 1 1,0 1,5 5 7,7 1 1 1 1,0 1,5 5 7,7 1 1 1 1,0 1,5 5 7,7 1 1 1 1,0 1,5 5 7,7 1 1 1 1,0 1,5 5 7,7 1 1 1 1,0 1,5 5 7,7 1 1 1 1,0 1,5 5 7,7 1 1 1 1,0 1,5 5 7,7 1 1 1 1,0 1,5 5 7,7 1 1 1 1,0 1,5 5 7,7 1 1 1 1,0 1,5 5 7,7 1 1 1 1,0 1,5		o Valenca								
Chaves										
Viana do Castelo 41 4/3,8 8 52,9 15 26,3 59 33,9 12 54,0 83 57	3	Bragança		6 47,4			11 17,5	58 37,9		
6 Braga	4									
Mirandela										
Povon de Varzim				The state of the s						
y Vila Real. 41 15,0 7 46,8 14 47,8 59 10,9 12 15,5 88 11 10 Penaficl 41 12,8 8 15,8 18 14, 52,8 59 10,6 12 20,6 88 11 11 Octobre 42 11 16,6 8 44,1 15 01,9 59 10,6 12 20,6 88 11 12 Moncorvo 41 09,3 7 04,3 14 29,9 59 14,4 11 57,5 88 11 12 Moncorvo 41 09,3 7 04,3 14 29,9 59 14,4 11 57,5 88 11 13 Moncorvo 42 14 05,1 7 48,8 14 49,0 59 14,3 12 16,7 88 11 10 Moncorvo 42 15,0 8 47,1 12 29,6 59 14,3 12 15,7 8 11 10 Moncorvo 42 15,0 8 47,1 12 29,9 14,4 11 57,5 88 11 11 10 Moncorvo 42 15,0 8 47,1 12 29,9 14,4 11 57,5 88 11 11 11 11 11 11 11 11 11 11 11 11										
11 O. Leixões 41 11.6 8 44,1 15 01.9 59 19.0 12 29.6 88.2 12 Moncrovo 41 09.3 7 01.3 1,1 29.0 59 14.4 11 75,5 88.1 13 Lamego 41 0.4 1,1 7,4 88.8 14, 29.0 59 14.3 12 16.7 58.8 14 O. Aguiar da Beira 40 38.6 8 39.9 15 07.3 58 52.5 12 35.0 57 58.1 15 O. Barra de Avciro 40 38.6 8 43.9 15 07.3 58 57.4 12 07.7 58 57.4 12 07.7 58 57.4 12 07.7 58 57.4 12 07.7 58 57.4 12 07.7 58 57.4 12 07.7 58 57.4 12 07.7 58 57.4 12 07.7 58 57.4 12 07.7 58 57.4 12 07.7 58 57.4 12 07.7 58 57.4 12 07.7 58 57.4 12 07.7 58 57.4 12 07.7 59 07.4 11 48.5 58 26.5 12 07.7 59 07.4 11 48.5 58 25.1 12 07.9 59 07.4 11 48.5 58 25.1 12 07.9 59 07.4 11 48.5 58 25.1 12 07.9 <		Vila Real	41 18,0	7 46,8		59 10,9		58 13,9		
Moncorvo				200						
13										
14										
Wilar Formoso		o Aguiar da Beira	40 48,8	7 36,2	14 38,1	58 57,4	12 05,7	58 00,4		
17										
18										
19										
Fundão	19									
22 Figneiro dos Vinhos 39 51,5 8 16,7 14 41,7 58 0.9,0 12 12,4 57 59 12 12,4 57 59 12 12,4 57 59 12 12,4 57 59 59 51,8 14 0.04 57 50,2 11 22,7 55 52 11 27,7 59 56 58 81,5 14 47,6 57 27,5 12 12,4 57 27,5 12 12,4 57 27,5 12 12,2 59 21,4 14 47,6 57 27,5 12 12,2 30 56 56 22,2 12 30,4 36 22 12 30,4 36 22 12 30,4 36 22 14 41,6 36 61,1 12 20,4 36 62 72 20 12 30,4 36 62 81,2 14 47,6	20						12 30,0			
Salvaterra do Extremo. 39 52,9 6 51,8 14 69,4 57 53,2 11 27,7 50 56										
23 S. Pedro de Muel.										
25 Abrantes				100						
27	25			8 11,5				56 30,5		
28 o Clamusca (Chouto). \$\frac{5}{2}\$ 16.9 8 22.3 \$\frac{14}{14}\$ 25.7 \$6 \$\frac{5}{2}\$ 1.1 \$\frac{1}{2}\$ 2.7 \$6 \$\frac{5}{2}\$ 1.1 \$\frac{1}{2}\$ 2.7 \$6 \$\frac{5}{2}\$ 1.2 \$\frac{1}{2}\$ 2.7 \$2 \$\frac{5}{2}\$ 5 \$\frac{5}{2}\$ 5 \$\frac{1}{2}\$ 2.7 \$\frac{1}{2}\$ 5.6 \$\frac{1}{2}\$ 5.7 \$\frac{1}{2}\$ 5.7 \$\frac{1}{2}\$ 5.7 \$\frac{1}{2}\$ 5.7 \$\frac{1}{2}\$ 5.7 \$\frac{1}{2}\$ 5.7 \$\frac{1}{2}\$ 2.7 \$\frac{1}{2}\$ 3.7 \$\frac{1}{2}\$ 3.7 \$\frac{1}{2}\$ 3.7 \$\frac{1}{2}\$ 2.7 \$\frac{1}{2}\$ 3.7 \$\fra										
99										
Montargil										
31 Elvas 38 53,5 7 10,1 11 04,6 55 37,0 11 32,2 51,2 52 53 0.3 46,7 9 9,0 7 25,6 5 75,9 90,2 35 13 14 18 56,2 14 59,5 56 16,2 12 21,1 55 12 21,1 55 12 21,1 55 12 21,1 55 12 11 20,5 55 12,1 11 48,1 18 38 31,7 7 50,2 11 20,5 56 16,7 12 21,1 55 12 11 14,8 15 11 14,8 15 11 14,8 15 11 14,8 15 11 14,8 15 11 14,8 15 11 14,8 15 14 11,4 14,8 15 14 14,1 14 14,3 14 14,7 12 14,7										
$ \begin{array}{cccccccccccccccccccccccccccccccccccc$		Elvas	38 53,5		14 04.6	55 37,0				
$ \begin{array}{c ccccccccccccccccccccccccccccccccccc$										
55 o Fvora				200		The state of the s		1000		
36 ☐ Cabo Espichel										
77 o Ferreira do Alentejo 38 o 3,8 8 o 5,0 11 37,5 51 45,7 12 o 5,1 53 58 ☐ Ficultio 37 57,8 7 17,0 14 11,3 55 43,6 11 39,0 51 69 ☐ Gabo de Sines 37 57,3 8 52,1 15 22,7 56 52,2 12 50,4 55			38 21.8			1000				
39 Cabo de Sines		o Ferreira do Alentejo	38 03,8	8 05,0	14 37,5	54 45,7	12 05,1	53 48,7		
		Cabo de Sines		8 01,3			12 50,4	55 55,5		
					14 27,8					

Estações de variação secular e Primeiras Cartas Magnéticas de Portugal (1942)

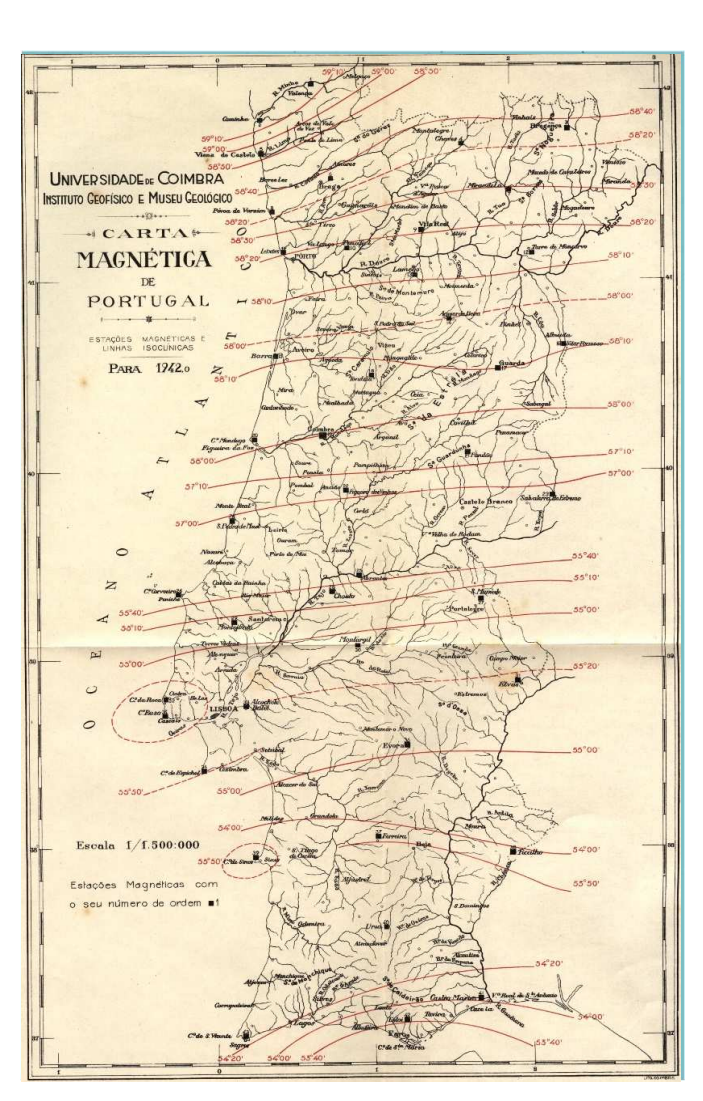


Teodolito Mag. Chasselon



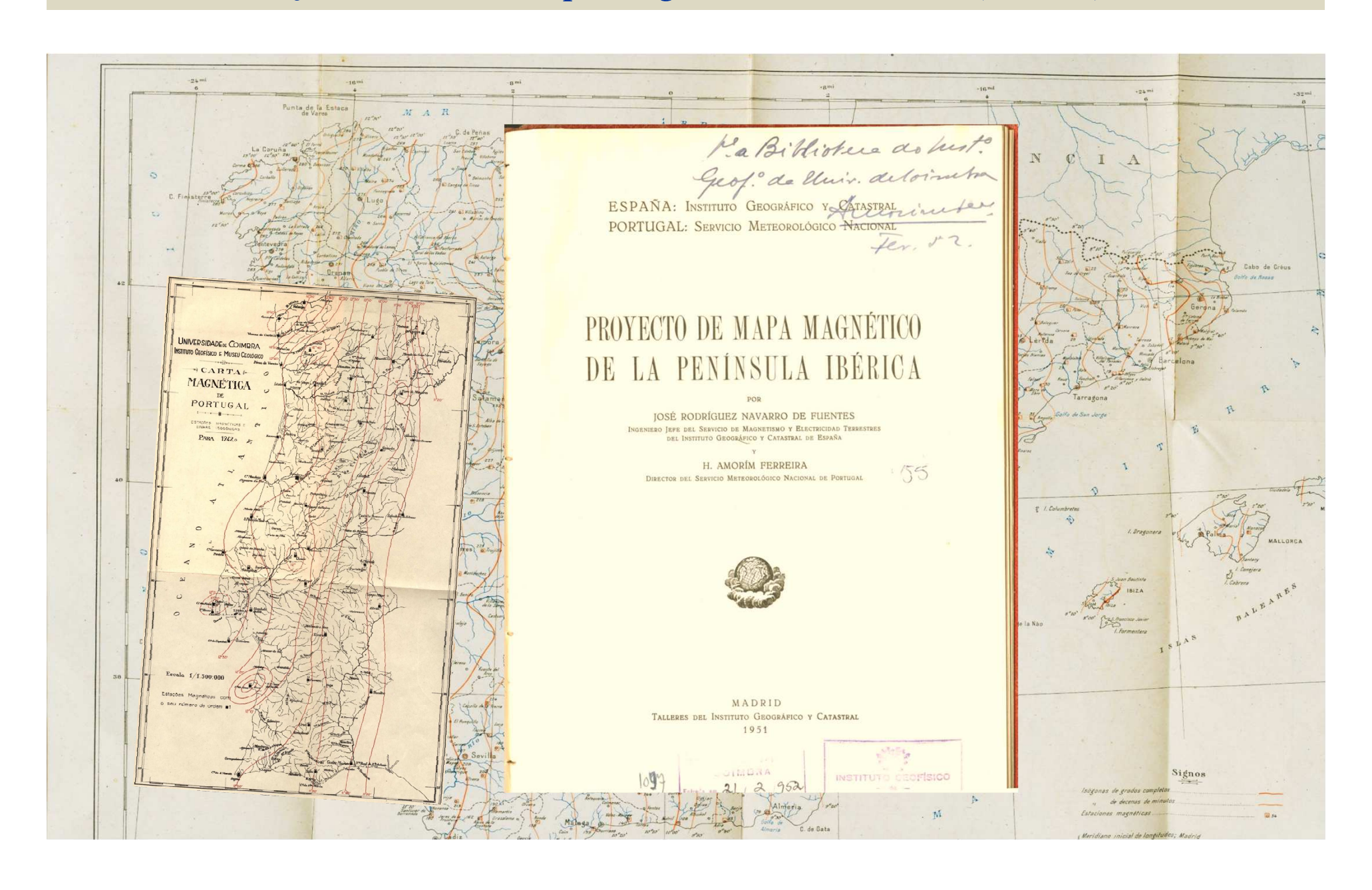


Indutor Terrestre Sartorius



Congresso das Associações Portuguesa e Espanhola para o Progresso das Ciências - Porto, Junho 1942

Pojecto Ibérico do Mapa Magnético da Península (1951...)



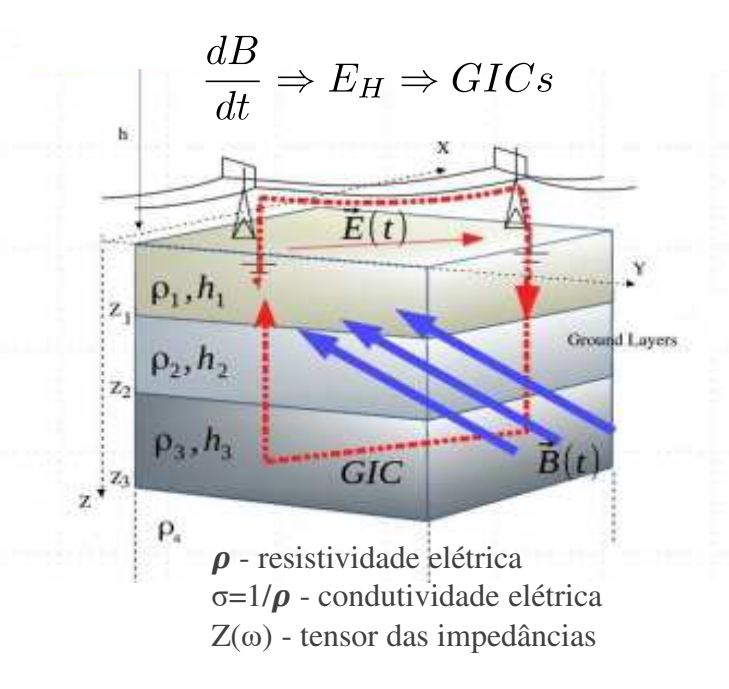
Pojecto Ibérico do Mapa Magnético da Península (1960, 1970...)

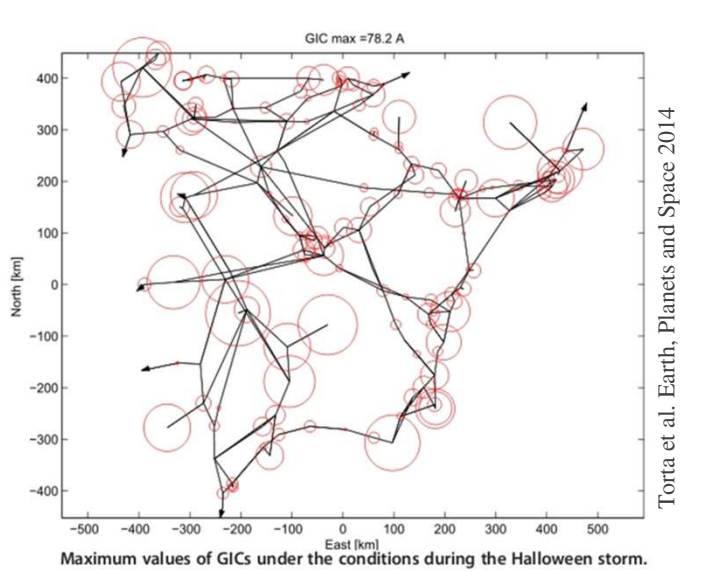


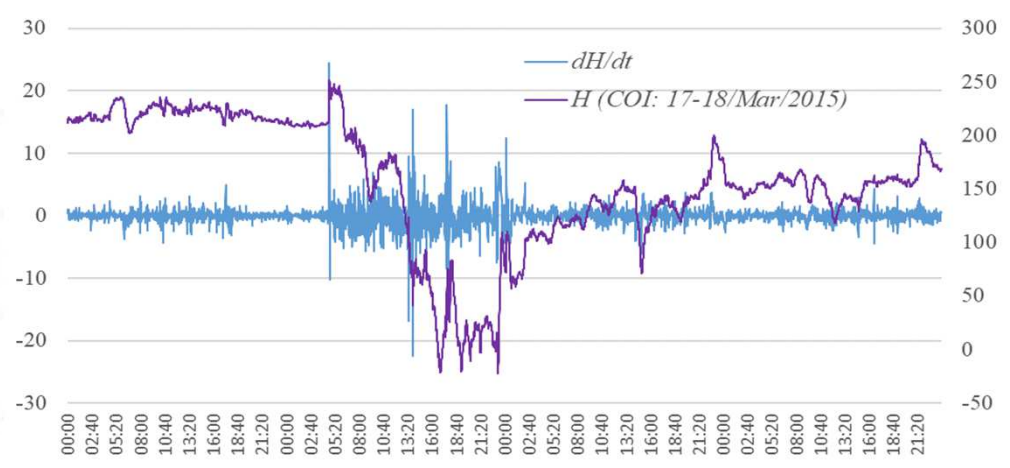
Pojecto Ibérico do Mapa Magnético da Península (1960, 1970...)



Projecto MAG-GIC (CITEUC)







$$\mathbf{E}_h(\omega) = \frac{1}{\mu_0} \mathbf{Z}(\omega) \mathbf{B}_h(\omega)$$

$$\mathbf{I} = (\mathbf{1} + \mathbf{YZ})^{-1}\mathbf{J}$$

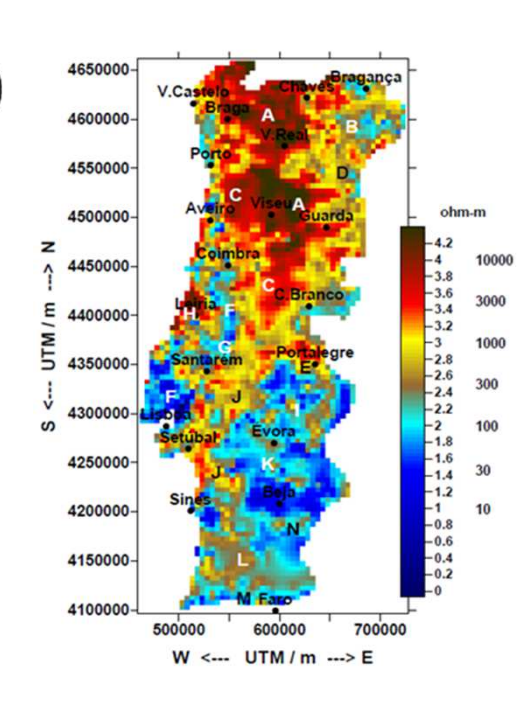
Lehtinen & Pirjola (1985, Ann. Geophys, 3, 479)

I – GIC em cada um dos \underline{m} nodos

Y – Matriz de admitâncias

Z – Matriz de resistências

J – Corrente na rede

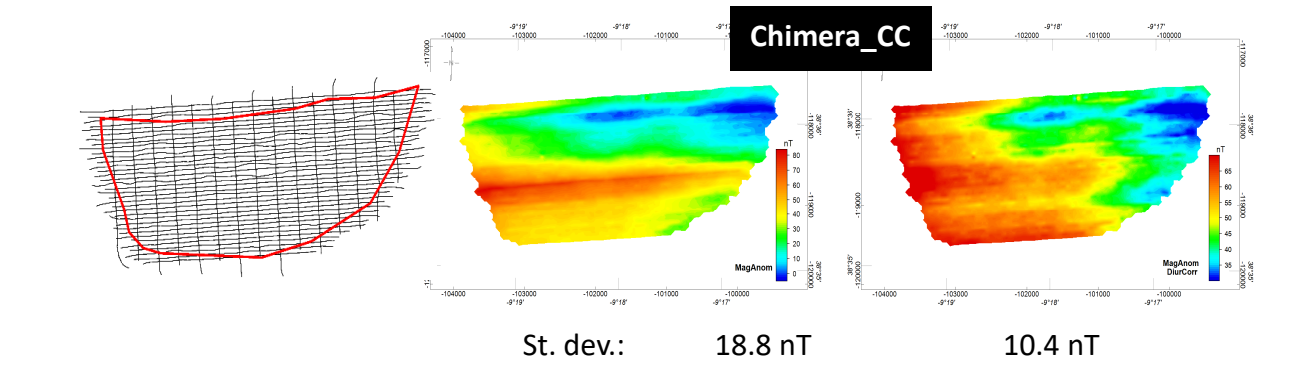


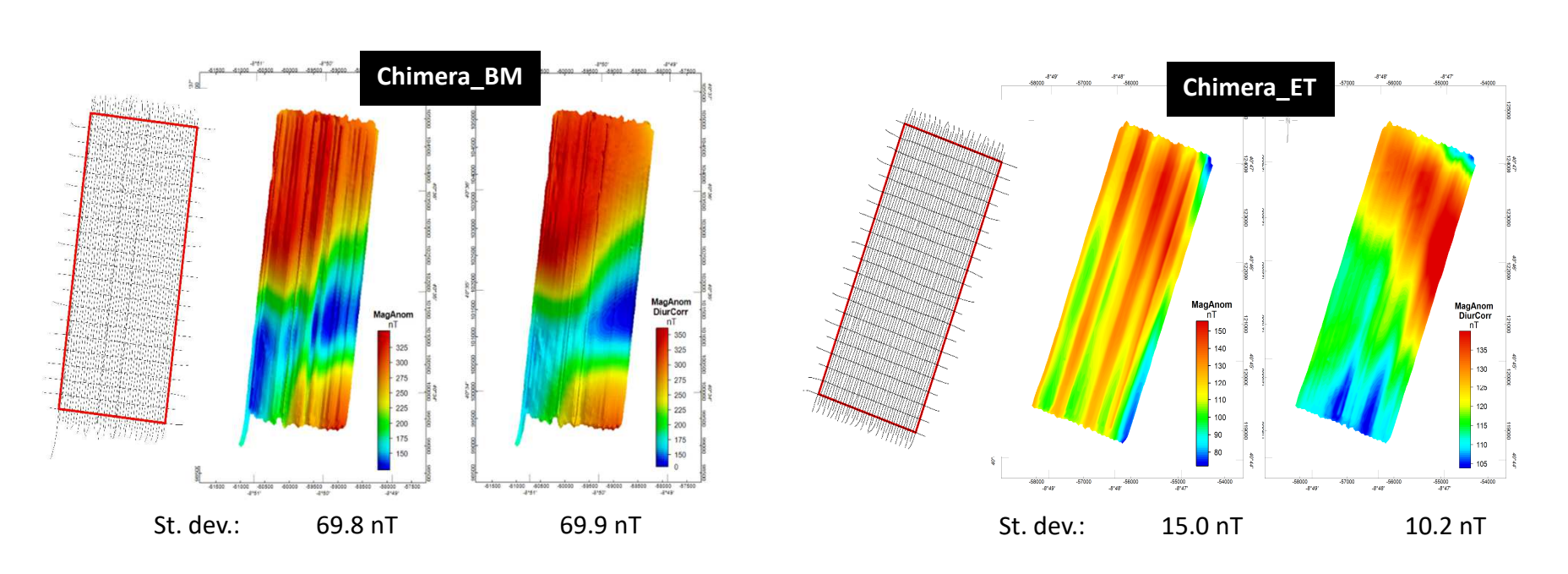
Correcção de dados magnéticos marinhos usando dados de estação de base (Coimbra)

CHIMERA project (APA/IPMA):

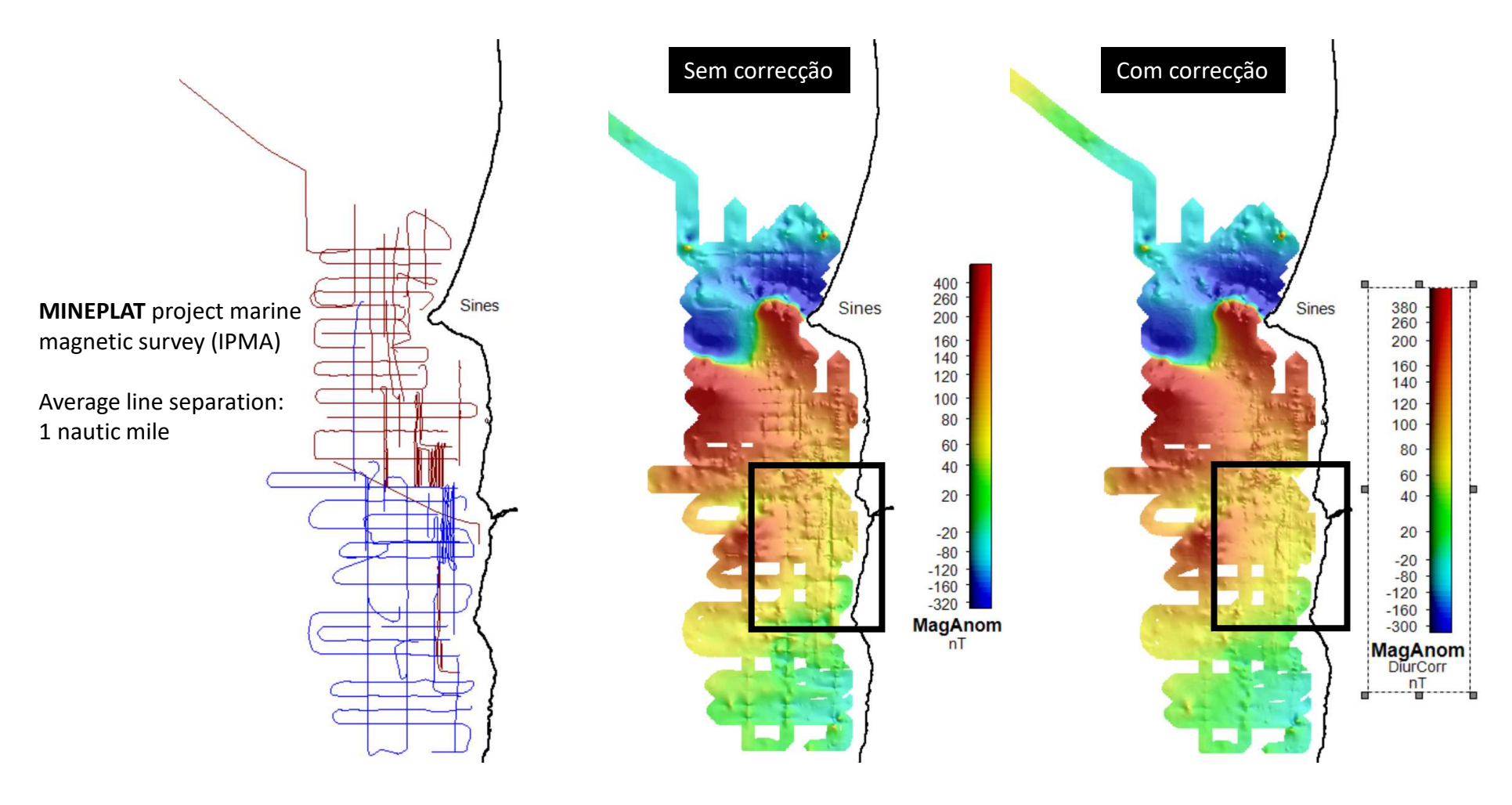
Marine Magnetic surveys 10 km² areas

Line separation : 50 m Tieline separation: 250 m





Correcção de dados magnéticos marinhos usando dados de estação de base (São Teotónio)



Permite distinguir entre anomalias provocadas por problemas de nivelamento entre linhas e anomalias reais, devidas a fontes geológicas





